

武藏工業大学土木工学科 正員 星谷 勝  
○正員 千葉 利晃

### 1. 緒言

地震動加速度波形の振幅成分および周波数成分は、時間的に不規則に変動するものである。この不規則性に基づいて地震動を確率過程でモデル化する場合、解析上の容易さと物理的意味が明確であることが、定常確率過程を取り扱うことが多い。しかし現象を正確にモデル化するためには、非定常確率過程として取り扱うのが妥当であろう。このような観点から本研究は、実際の地震加速度波と同じ非定常性をもった人工地震波を非定常確率過程を用いて作成した。人工地震波モデルとしては、フィルターを通してショットノイズ型モデルを使用した。このモデルは震源から地盤を伝播して地表面に到るプロセスを考慮した地震波のシミュレーションとして有効であろう。なお非定常スペクトルの解析には、Physical Spectrumの概念を用いた。このPhysical Spectrumは物理的意義が明確で、その数理論を地震加速度データの解析に直接適用できるので、他の非定常スペクトルに比べて、とらえ易い利点がある。

### 2. 非定常スペクトル

確率過程  $X(t)$  の Physical Spectrum は Mark によって提唱されたもので、次式で定義される。

$$S(\omega, t; W) = E \left[ \frac{1}{2\pi} \left| \int_{-\infty}^{\infty} W(t-u) X(u) e^{-i\omega u} du \right|^2 \right] ; -\infty < \omega < \infty \quad (1)$$

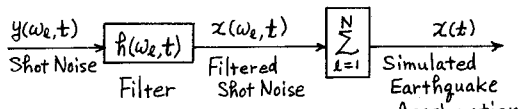
ここで  $W(t)$  は Window 関数と呼ばれ  $\int_{-\infty}^{\infty} W(t) dt = 1$  を満足し、かつ  $t=0$  の近傍で正值をとり、この近傍の外では  $|W(t)|$  は非常に小さいものとする。本研究ではガウス型 Window 関数を用いた。このガウス型 Window 関数は次式で与えられる。

$$W(t) = \left( \frac{\sqrt{2}}{T} \right)^{1/2} \exp \left\{ -\frac{\pi t^2}{T^2} \right\} \quad (2)$$

### 3. ショットノイズ型モデル

このモデルは図-1のようにフィルターを通して確率ショットノイズ過程の狭窄域の波を作り、これを重ね合したものである。ショットノイズ過程  $y(\omega_e, t)$  を次式で定義する。

$$y(\omega_e, t) = \sum_{k=1}^{n_e} Y_{ek} \delta(t - T_{ek}) \quad (3)$$



ここで  $Y_{ek}$  はたがいに独立でかつ同一の確率分布に従い

平均値は 0 とする。 $T_{ek}$  は等間隔  $\Delta t$  で到着するパルス

の到着時間で、 $n_e$  は時間  $t$  までのパルスの数を表す。また、 $Y_{ek}$  の2乗平均値はフィルターを通して得られた確率ショットノイズ過程の振幅強度  $I(\omega_e, T_{ek})$  を用いて次のように与えられるものとする。

$$E[Y_{ek}^2] = I(\omega_e, T_{ek}) \Delta t \quad (4)$$

フィルターを通して得られた確率ショットノイズ過程  $x(\omega_e, t)$  は(3)式をフィルター  $h(\omega_e, t)$  に通して作成された狭窄域の波である。すなわち、

$$x(\omega_e, t) = \int_0^t h(\omega_e, t-u) y(\omega_e, u) du = \sum_{k=1}^{n_e} Y_{ek} h(\omega_e, t - T_{ek}) \quad (5)$$

したがってショットノイズ型人工地震波は次式で与えられる。

$$x(t) = \sum_{l=1}^N x(\omega_l, t) = \sum_{l=1}^N \sum_{k=1}^{n_l} Y_{lk} h(\omega_l, t - T_{lk}) \quad (6)$$

次に,  $I(\omega_e, T_e)$  の決定について述べる。非定常確率過程は定常確率がウス過程を非定常過程に拡張した式で与えられるものとする。

$$x'(t) = \sum_{\ell=1}^N x'(\omega_\ell, t) = \sum_{\ell=1}^N a(\omega_\ell, t) \cos(\omega_\ell t + \phi_\ell) \quad (7)$$

ここで  $\phi_\ell$  は 0 と  $\pi$  の間の一様乱数で,  $\phi_i$  と  $\phi_j$ ;  $i \neq j$  はたがいに独立とする。また  $a(\omega_\ell, t)$  は Physical Spectrum を用いて  $a(\omega_\ell, t) = [4S(\omega_\ell, t; TW)\Delta\omega]^{1/2}$  で与えられるものとする。(7)式は平均値 0 で Physical Spectrum  $S(\omega, t; TW)$  をもつ非定常確率過程であることが証明できる。さて  $I(\omega_e, T_e)$  は(7)式の成分波  $x'(\omega_\ell, t)$  と(5)式のショットノイズ型モデルの成分波の 2乗平均値を算しくする, すなわちエネルギーを算くすることによって次式のように決定した。

$$I(\omega_e, t) = 8\beta\omega_e^3 S(\omega_e, t; TW)\Delta\omega \quad (8)$$

なお, フィルターとしては, 線形 1 自由度系フィルターを使用した。このフィルターは次式で与えられる。

$$h(\omega_e, t) = \frac{1}{\omega_e\sqrt{1-\beta^2}} e^{-\beta\omega_e t} \sin \omega_e\sqrt{1-\beta^2} t \quad (9)$$

ここで  $\beta$  は減衰定数である。

#### 4. 数値解析例

数値解析には新潟地震記録(NS成分, 最大加速度 134.75 gal, 1964年)と Taft (N21E成分, 最大加速度 173.8 gal, 1952年)の 2つの地震加速度記録を使用した。(2)式の Window 関数の定数  $T$  は  $T = 2.5$  秒とし, (9)式のフィルターの減衰定数は 0.05 とした。また周波数  $\omega$  の分割数は 40 区間とした。しかし新潟地震の場合, 周波数分布が 0~1 Hz に集中しているため, 0~1 Hz の間を 30 区間に 1 Hz ~ 10 Hz の間を 10 区間に分割して計算を行なっている。2つの地震加速度記録と(6)式より作成された人工地震波を図 2~5 に示す。新潟地震の場合, 人工地震波は原波形と長周期部分, 10 秒以降、かなりの違いが認められる。また最大加速度も原波形の  $1/2$  程度と非常に小さくなっている。一方 Taft 地震の場合は、図からわかるようにかなりの精度で人工波が作成されているものと思える。今回は Physical Spectrum は示していないが、作成した人工地震波の精度から見ても、今回使用した Physical Spectrum は地震動の非定常特性をとらえるのに十分使用できよう。またショットノイズ型人工地震波モデルを新潟地震のような周波数成分の特異なものを受けければ十分使えるものと思える。しかしフィルターの検討を加える等の検討を加えより精度を高める必要がある。

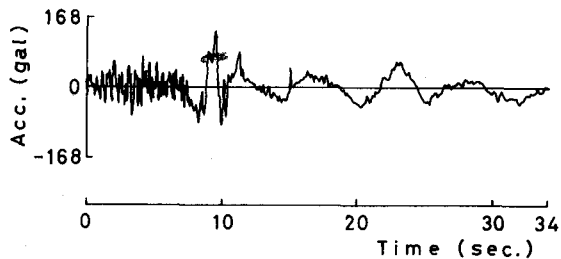


図-2 新潟地震加速度記録

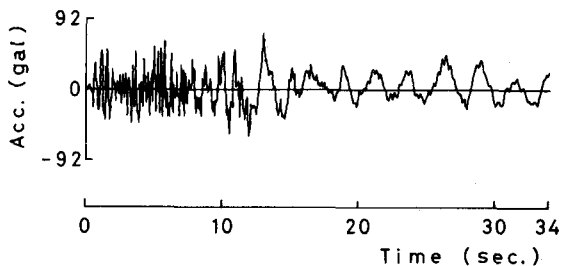


図-3 人工地震波(新潟地震)

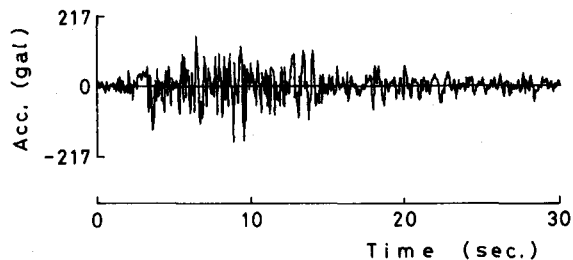


図-4 Taft 地震加速度記録

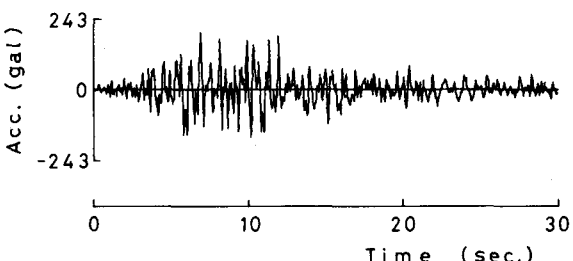


図-5 人工地震波(Taft 地震)